

УДК 539.216.2

## ИНДУЦИРОВАННАЯ МАГНИТНАЯ АНИЗОТРОПИЯ ПЛЕНОК ФЕРРИТОВ-ГРАНАТОВ, ВЫРАЩЕННЫХ НА ПОДЛОЖКАХ (210)

Е. Н. Ильинцева, Е. И. Ильинченко, А. В. Клушина, Н. Б. Широкова

(кафедра общей физики)

Предложен осциллографический метод измерения полей неоднородного зародышеобразования  $H^n$  для пленок ферритов-гранатов, выращенных на подложках (210). Метод основан на использовании двух ортогональных магнитных полей, одно из которых является насыщающим; оно поддерживает исходное состояние намагниченности в процессе перемагничивания другим полем. Анализ полученных азимутально-полевых зависимостей критических параметров перемагничивания и результаты измерений угла однородного вращения вектора намагниченности свидетельствуют о наличии ромбической магнитной анизотропии во всех исследованных образцах.

### Введение

Эпитаксиальные феррит-гранатовые пленки, выращенные на монокристаллических подложках, наряду с магнитокристаллической обладают аниzo-

тропией, индуцированной в процессе роста пленки. В случае, когда нормаль к плоскости пленки не совпадает ни с одной из главных кристаллографических осей, в процессе роста пленки формируется орторомбическая магнитная анизотропия из-за понижения

симметрии расположения магнитных атомов и ионов. В отсутствие редкоземельных магнитных ионов технологическими методами удается сформировать одноосную анизотропию в пленках с различной ориентацией оси легкого намагничивания (ОЛН).

При феноменологическом подходе для адекватного описания полной магнитной анизотропии требуется достаточное количество параметров, поэтому необходима разработка методов их измерения. Наряду с традиционными (методы ферромагнитного резонанса, кругящих моментов и др.) в настоящее время наиболее распространены косвенные магнитооптические методы измерения параметров анизотропии. Это основанный на наблюдении однородного зарождения доменной структуры метод фазовых переходов [1, 2], а также метод определения ориентации вектора намагниченности насыщения  $\mathbf{M}_S$  относительно поля  $\mathbf{H}$ , значительно превышающего поле анизотропии, по измерению угла вращения плоскости поляризации [3].

Предлагаемая работа является продолжением цикла [4–6], в котором разработан ряд методов определения магнитных параметров Bi-содержащих эпитаксиальных феррит-гранатовых пленок, выращенных на подложках с кристаллографической ориентацией (210). Для определения параметров анизотропии используются азимутально-полевые зависимости критических полей неоднородного зародышеобразования.

### Образцы и методика исследования

Исследования проводились на пленках  $(\text{BiLu})_3(\text{FeGa})_5\text{O}_{12}$ , эпитаксиально выращенных на немагнитных подложках  $(\text{GdCa})_3(\text{GaMgZr})_5\text{O}_{12}$  и  $\text{Gd}_3\text{Ga}_5\text{O}_{12}$  с ориентацией (210). Все исследованные образцы можно считать квазиодносными [5, 6], ось легкого намагничивания (ОЛН) которых лежит в плоскости ( $zOx$ ) и отклонена от оси  $Oz$  на угол  $\theta_0$  (рис. 1).

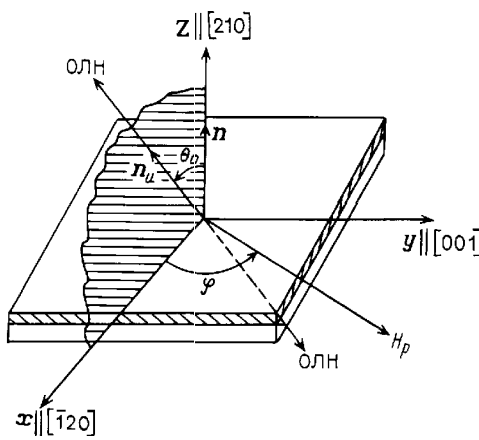


Рис. 1. Система координат, используемая в работе

Для удобства описания кристаллографических и магнитных свойств выбрана система координат  $x, y, z$ , оси которой ориентированы так, что  $\mathbf{x} = (1/\sqrt{5})(1, 2, 0)$ ,  $\mathbf{y} = (0, 0, 1)$ ,  $\mathbf{z} = (1/\sqrt{5})(2, 1, 0)$ . Единичный вектор намагниченности  $\mathbf{m} = \mathbf{M}_S/M_S = m_x\mathbf{x} + m_y\mathbf{y} + m_z\mathbf{z}$ .

В равновесном состоянии  $m_y = 0$  и полосовая доменная структура ориентирована вдоль направления  $Ox$ . В лабиринтной структуре прослеживались направления [120], [121], [001]. Значения  $\theta_0$  и  $M_S$  определялись по восприимчивостям  $\chi_{zz}$  и  $\chi_{zx}$  процессов смещения стенок полосовых доменов [5]. Для исследованных магнитных пленок  $\theta_0 = 5 \div 30^\circ$  и  $4\pi M_S = 50 \div 70$  Гс. Отклонение оси [210] от нормали к плоскости пленки по данным рентгенографических измерений составляло менее  $1^\circ$ , и его можно не принимать во внимание.

Измерения были проведены на магнитооптической установке, описанной в работе [4]. Образец располагался в зазоре электромагнита, формирующего плоскостное постоянное магнитное поле с напряженностью  $H_p \leq 3$  кЭ. Напряженность поля смещения  $H_z$  вдоль нормали  $n$  не превышала 100 Э. Азимутальный угол  $\varphi$  отсчитывался от оси  $Ox$  к направлению поля  $H_p$  (см. рис. 1).

Установка позволяла визуально наблюдать доменную структуру; осциллографировать петли гистерезиса  $m_z(H_z)$ , где  $m_z = M_z/M_S = M_S \cos \theta/M_S$ ; проводить фотометрические измерения интенсивности светового потока, прошедшего через образец, и измерять угол фарадеевского вращения плоскости поляризации. В двух последних случаях для улучшения отношения сигнал/шум световой поток был модулирован по интенсивности лазерного пучка  $I_0$ ; измерения проводились на частоте модуляции.

Величина фотометрического сигнала  $U$  зависит от угла  $\alpha_0$  между поляризационными элементами, угла поворота плоскости поляризации  $\Phi(\theta)$ , интенсивности лазерного пучка  $I_0$  и объемов доменов  $V_1$  и  $V_2$  с противоположной ориентацией  $z$ -компоненты намагниченности:

$$U = I_0 \{ \cos^2[\alpha_0 + \Phi(\theta_1)]V_1 - \cos^2[\alpha_0 - \Phi(\theta_2)]V_2 \}.$$

Для процессов смещения  $180^\circ$ -стенки  $U = I_0 \cos^2 \alpha_0 (W_1 - W_2)/(W_1 + W_2)$ , где  $W_1$  и  $W_2$  — ширина доменов с противоположной ориентацией вектора  $\mathbf{M}_S$ .

Измерение  $\Phi(\theta)$  проводилось с точностью до  $0,1^\circ$ . Выбор значений  $\alpha_0$  и  $I_0$  зависит от конкретной экспериментальной задачи и обсуждается далее.

### Неоднородное зародышеобразование

Переход из однодоменного состояния в многодоменное, наблюдаемый в полях  $H \ll H_K$ , происходит в результате неоднородного необратимого вращения вектора намагниченности  $\mathbf{M}_S$ . Этот переход является фазовым переходом I рода и сопровождается скачкообразным изменением намагниченности в критическом поле неоднородного зародышеобразования  $\mathbf{H}^n$ , которое определяется следующим образом:  $\mathbf{H}^n = \mathbf{H}_z^n + \mathbf{H}_p^n + \mathbf{H}_d$ , где  $\mathbf{H}_d$  — размагничивающее поле. В однодоменном состоянии поле  $H_d = 4\pi M_z$ . Это состояние при измерениях создавалось одним из независимых ортогональных полей —  $\mathbf{H}_{Sz}$  или  $\mathbf{H}_{Sp}(\varphi)$ , что позволяло блокировать рост

краевых зародышей. Скачкообразное изменение величины  $\Delta m_z = \Delta M_z/M_S$  в поле  $\mathbf{H}^n$  фиксировалось по петлям гистерезиса [4]. В случае, когда однодоменное состояние задается полем  $H_{Sz}$ , плоскостное поле вызывает сдвиг петли гистерезиса вдоль оси абсцисс, т. е. сдвиг по полю  $H_z$  (рис. 2, а), и поле зародышебразования  $H_z^n$  определяется по скачку намагниченности как для положительной ( $m_z > 0$ ), так и для отрицательной ( $m_z < 0$ ) полярности намагниченности. Для плоскостного поля  $H_{Sp}$  сигнал перемагничивания появляется в поле  $H_z = H_z^n$  (рис. 2, б) только при одной полярности.

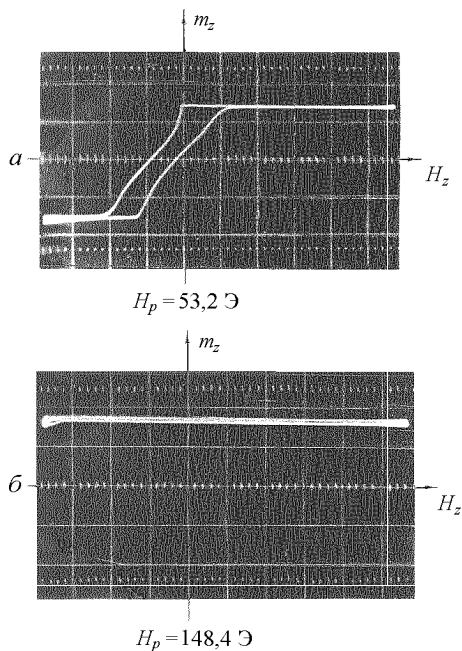


Рис. 2. Петли гистерезиса  $m_z(H_z)$  при  $H_z \max = 66$  Э. Образец № 2: толщина пленки  $h = 13$  мкм,  $\theta_0 = 26^\circ$ ,  $4\pi M_S = 60$  Гс;  $H_p = 53,2$  Э (а) и  $148,4$  Э (б)

Критические кривые неоднородного зародышебразования для положительной полярности ( $m_z > 0$ ) одной из (210)-пленок (образец № 1) при нескольких азимутальных углах  $\varphi$  представлены на рис. 3. Кривые для  $m_z < 0$  идентичны приведенным, симметричны им относительно начала координат. Когда направление поля  $\mathbf{H}_p$  отклоняется от оси  $Ox$  не более чем на  $40^\circ$ , кривые незначительно отличаются друг от друга. В этом случае наблюдается линейная зависимость  $H_z^n(H_p^n)$ , которая описывается уравнением  $H_z^n + \tan \theta_0 H_p^n = 0$  так же, как и для процесса смещения стенок полосовых доменов при  $\varphi = 0$  [5]. Это является следствием постоянства восприимчивости процесса смещения доменных стенок  $\chi$  и практически неизменной ориентации вектора  $\mathbf{M}_S$  вдоль ОЛН в процессе зародышебразования.

Полученные закономерности дают возможность определять  $\tan \theta_0$  по критическим полям неоднородного зародышебразования:  $\tan \theta_0 = H_z^n/H_p^n = \chi_{zx}/\chi_{zz}$ . Найденные значения ортов вдоль ОЛН  $\mathbf{n}_u = (\sin \theta_0, 0, \cos \theta_0)$  совпадают с результатами работы [5].

При  $\varphi > 40^\circ$  амплитуда петли гистерезиса уменьшается, происходит «размазывание» скачка  $\Delta m_z$

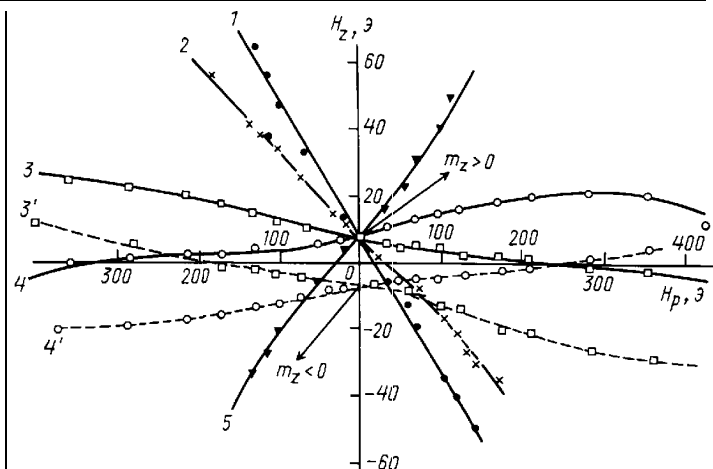


Рис. 3. Критические кривые неоднородного зародышебразования на плоскости  $(H_z, H_p)$  для различных значений азимутального угла  $\varphi$ . Образец № 1: толщина пленки  $h = 18,7$  мкм,  $\theta_0 = 30^\circ$ ,  $4\pi M_S = 65$  Гс;  $\varphi = 0$  (1),  $55^\circ$  (2),  $84^\circ$  (3 и 3'),  $98^\circ$  (4 и 4') и  $127^\circ$  (5). Сплошные кривые соответствуют  $m_z > 0$ , пунктирные —  $m_z < 0$

при зародышебразовании и усиливается роль процессов вращения вектора  $\mathbf{M}_S$  при преобладающем влиянии плоскостного поля  $H_p$ . Вблизи  $\varphi = \pi/2$  кривые для  $m_z > 0$  и  $m_z < 0$  сближаются и при двух значениях угла  $\varphi$ , близких к  $+\pi/2$  и  $-\pi/2$ , сходятся в критических точках при  $H_z^n = 0$ . Переходы через  $\varphi = \pm\pi/2$  сопровождаются переориентацией кривых относительно оси абсцисс (см. кривые 3 и 4 на рис. 3) и изменением направления смещения петли гистерезиса по полю  $H_z$ . При  $\varphi = \pm\pi/2$  сдвиг петли гистерезиса отсутствует, а визуально наблюдается, что доменная структура зарождается в поле  $H_y = 980$  Э (поле  $H_y = H_p$  приложено вдоль оси [001]) в результате двустороннего разворота вектора намагниченности  $\mathbf{M}_S$ , что приводит к состоянию смешанной полярности.

На рис. 4 представлена зависимость  $H_z^n(\varphi)$  при постоянном поле  $H_p$ . Эти данные можно получить как из рис. 3, так и путем непосредственных измерений  $H_z^n(\varphi)$  при  $H_p = \text{const}$  для обеих полярностей намагниченности. Полученная

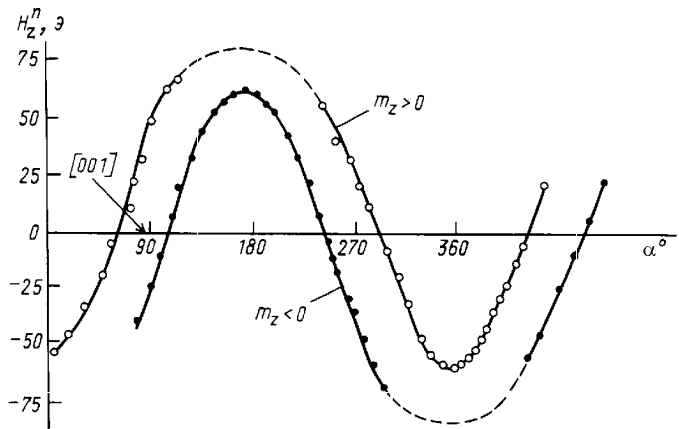


Рис. 4. Азимутальная зависимость нормальной компоненты  $H_z^n$  поля неоднородного зародышебразования при  $H_p = 280$  Э ( $H_p/H_{Ku} \approx 0,15$ ). Образец № 3:  $\theta_0 = 14,5^\circ$ . Направление кристаллографической оси [001] отмечено стрелкой

простая  $\cos \varphi$ -зависимость свидетельствует о решающей роли индуцированной одноосной магнитной анизотропии в процессе неоднородного зародышеобразования, что согласуется с результатами [1], полученными для процессов однородного зародышеобразования доменов.

### Определение параметров анизотропии

В результате отклонения ОЛН образцов от нормали к поверхности пленки  $\mathbf{n}$ , в плоскости пленки возникает магнитная анизотропия. На основе выполненных измерений можно выделить предельные случаи для намагничивания образца плоскостным полем  $H_p$ :  $\varphi = 0$ ,  $\varphi = \pi$  и  $\varphi \approx \pm\pi/2$ . Для этих углов  $\varphi$  рассмотрим процесс однородного вращения вектора  $\mathbf{M}_S$  из исходного состояния (вдоль ОЛН) к направлению поля  $H_p$ . Исходное однодоменное состояние задавалось полем  $H_{Sz} \approx 25$  Э. В режиме модуляции интенсивности  $I_0$  излучения лазера были проведены измерения сигнала  $U$ , пропорционального  $M_z$ -компоненте намагниченности.

Расположение поляризационных элементов выбиралось так, чтобы отношение  $U_{\max} = I_0 \sin^2(\alpha_0 + \Phi(\theta_0))$  к  $U_{\min} = I_0 \sin^2 \alpha_0$  было не менее 100. Угол  $\alpha_0$  целесообразно выбирать так, чтобы  $U_{\min}$  не превышало уровень шума при  $\varphi = \pi/2$ , когда в поле  $H_p = 3$  кЭ вектор  $\mathbf{M}_S$  лежит в плоскости пленки.

Зависимость нормированного значения фотометрического сигнала  $U/U_{\max}$  для образца № 1 от плоскостного поля  $H_p$  представлена на рис. 5. Кривая 1 соответствует  $\varphi = 0$ , когда процесс вращения происходит обратимо и вектор  $\mathbf{M}_S$  остается в плоскости ( $zOx$ ). Для сравнения представлена кривая 3, когда поле  $H_p$  отрицательно для исходного состояния намагниченности и процесс идет с образованием доменной структуры. Кривая 2 для  $\varphi = \pi/2$  получена при увеличении поля  $H_p$  до 3 кЭ. В полях  $H_p$  от 1 до 3 кЭ сигнал практически не менялся. После этого поле  $H_{Sz}$  выключалось и измерялся сигнал  $U(H_p)$  при уменьшении поля  $H_p$  до нуля (кривая 4). Как видно,  $U(0)$  для кривой 4 вдвое меньше, чем для кривой 2, что объясняется возникновением доменной структуры в результате двустороннего разворота намагни-

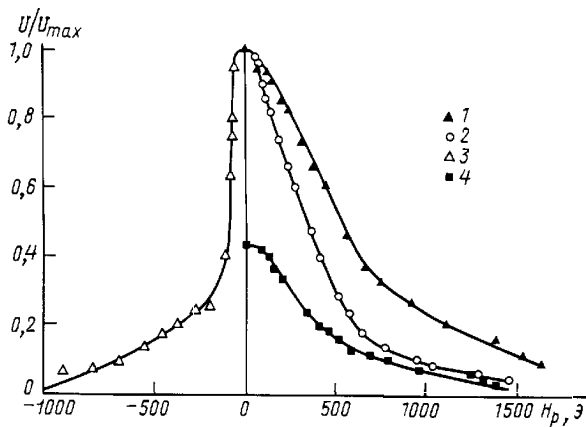


Рис. 5. Нормированный фотометрический сигнал  $U/U_{\max}$  пропорциональный  $z$ -компоненте намагниченности, в зависимости от плоскостного поля  $H_p$  для образца № 1:  $\varphi = 0$  (1),  $\pi/2$  (2 и 4) и  $\pi$  (3)

ченности от оси трудного намагничивания, лежащей в плоскости пленки. Величина поля однородного зародышеобразования  $H_{hom}$  в соответствии с приведенными кривыми для образца № 1 с точностью до нескольких процентов составляет  $H_{hom} = 980$  Э.

Согласно расчетам [7], в бездефектных кристаллах для случая, когда  $\mathbf{H}_{\perp}$  перпендикулярно ОЛН, нестабильность в распределении намагниченности, которая является зародышем обратной фазы, возникает за счет знакопеременных колебаний вектора  $\mathbf{M}_S$  в критическом поле  $\mathbf{H}_{\perp}^n$ :

$$H_{\perp}^n = \frac{2K_u}{M_S} \left( 1 - \frac{2}{[Q(1+Q)]^{1/2}} \frac{\Lambda}{h} \right),$$

где  $Q = K_u/(2\pi M_S^2)$  — фактор качества,  $K_u$  — константа одноосной анизотропии,  $\Lambda = \sqrt{A/(2\pi M_S^2)}$ ,  $A$  — константа обмена.

Поскольку наши образцы обладали большой приведенной толщиной  $h/\Lambda$  и имели фактор качества  $Q \gg 1$ , поле перехода в многодоменное состояние  $H_{hom} = H_{\perp}^n \cong 980$  Э можно считать равным полю одноосной анизотропии  $H_{Ku}$ , и полученная константа одноосной анизотропии  $K_u = H_{Ku} M_S / 2 = 2550$  эрг/см<sup>3</sup>.

По результатам измерений  $U/U_{\max}$  для  $\varphi = 0$  (рис. 5, кривая 1) на основании теории однородного вращения вектора намагниченности [8] были рассчитаны значения равновесных углов отклонения  $\theta$  вектора  $\mathbf{M}_S$  от ОЛН в зависимости от  $H_p$ . Для этого использовали значения  $\alpha_0$ ,  $\theta_0$  и угол фарадеевского вращения  $\Phi$ . Используя данные эксперимента для  $0,1 < H_p/H_{Ku'} < 0,5$  при  $\varphi = 0$ , находим поле и константу одноосной анизотропии  $H_{Ku'} = 890 \pm 90$  Э,  $K_{u'} = 2300 \pm 200$  эрг/см<sup>3</sup>.

На основе полученных данных для исследованных образцов с ориентацией подложки (210) энергия магнитной анизотропии в соответствии с [9] может быть представлена в виде  $w = (K_{u'} + \Delta \sin^2 \psi) \sin^2 \theta'$ , где  $\Delta = K_u - K_{u'}$ ,  $\psi$  — азимутальный угол в плоскости, перпендикулярной ОЛН, направление  $\psi = 0$  совпадает с направлением орта  $\mathbf{n}_{u'} = (\cos \theta_0, 0, -\sin \theta_0)$ , а  $\theta'$  — угол отклонения вектора  $\mathbf{M}_S$  от ОЛН.

Процессы, рассмотренные в этом разделе, происходят вследствие магнитной анизотропии сложной природы, а использование термина «одноосность» подчеркивает, что найденные с помощью осциллографического метода предельные случаи ( $\varphi = 0$ ,  $\varphi = \pi$  и  $\varphi \approx \pm\pi/2$ ) намагничивания образца удовлетворяют теориям одноосной анизотропии [7, 8].

Отметим, что предложенный осциллографический метод применим для оперативного, но точного (до  $0,1^\circ$ ) определения ОЛН и осей трудного намагничивания пленок ферритов-гранатов с положительной константой одноосной анизотропии, синтезированных на подложках любой ориентации. Из анализа азимутально-полевых зависимостей критических полей неоднородного зародышеобразования определяется ориентация ОЛН, а оси трудного намагни-

чивания соответствуют направлениям плоскостных полей, при которых отсутствует сдвиг петли гистерезиса.

Авторы благодарят А. М. Балбашова, В. П. Клин за предоставление образцов и И. В. Телегину, В. В. Зубенко за проведенные рентгенографические измерения.

#### Литература

1. Hubert A., Malosemoff A.F., De Luca J.C. // J. Appl. Phys. 1974. **45**, No. 8. P. 3562.
2. Дикштейн И.Е., Лисовский Ф.В., Мансветова Е.Г., Тарасенко В.В. // ЖЭТФ. 1984. **86**, № 4. С. 1473.
3. Лисовский Ф.В., Мансветова Е.Г., Шаповалов В.И. // Оптика и спектр. 1979. **47**, № 6. С. 1082.
4. Ильичева Е.Н., Клушина А.В., Широкова Н.Б. и др. // ЖТФ. 1997. **67**, № 6. С. 32.
5. Ильичева Е.Н., Шишкин А.Г., Балбашов А.М. и др. // ЖТФ. 1993. **63**, № 11. С. 143.
6. Ильичева Е.Н., Клушина А.В., Широкова Н.Б. и др. // Вестн. Моск. ун-та. Физ. Астрон. 1994. № 2. С. 59 (Moscow University Phys. Bull. 1994. No. 2. P. 57).
7. Muller M.W. // J. Appl. Phys. 1967. 38. P. 2413.
8. Stoner E.C., Wohlfart E.P. // Phil. Trans. Roy. Soc. 1948. **A240**. P. 599.
9. Эшенфельдер А. Физика и техника цилиндрических магнитных доменов. М.: Мир, 1983. С. 124.

Поступила в редакцию  
21.04.99

## ГЕОФИЗИКА

УДК 551.465+551.466

### ТРАНСФОРМАЦИЯ СТРАТИФИКАЦИОННОЙ СТРУКТУРЫ ОКЕАНА ПРИ ПОДВОДНОМ ЗЕМЛЕТРЯСЕНИИ

М. А. Носов, С. Н. Скачко

(кафедра физики моря и вод суши)

Уравнения баланса турбулентной энергии и турбулентного переноса тепла применены для оценки возможности трансформации вертикального профиля температуры в результате подводного землетрясения.

Совместный анализ каталога землетрясений и карт аномалий температуры поверхности Мирового океана позволил выявить несколько случаев образования крупномасштабных ( $\sim 500$  км) холодных аномалий температуры поверхности над эпицентрами сильных подводных землетрясений [1, 2]. Принципиальная возможность такого явления впервые обсуждается в работе [3]. Образование упомянутых аномалий, с нашей точки зрения, связано с разрушением теплого верхнего слоя океана и выходом к поверхности холодных глубинных вод в результате интенсификации вертикального турбулентного обмена над областью эпицентра.

Стратификация вод океана — весьма устойчивое образование, поэтому существование эффекта ее разрушения приводит к вопросу о том, какая энергия для этого необходима и как эта энергия связана с энергией подводного землетрясения. Предварительные оценки такого рода уже выполнялись нами ранее в работе [4]. В настоящей работе используется более совершенный подход, значительно повышающий точность оценок. Этот подход основан на численном исследовании системы уравнений баланса турбулентной энергии и турбулентного переноса тепла, в котором учитываются: 1) затраты энергии на работу против сил плавучести; 2) специфическое пространственное распределение энергии турбулентных пульсаций; 3) переходные процессы при «включении» и «выключении» генерации турбулентной энергии; 4) широкий

спектр масштабов турбулентного движения.

Характерный горизонтальный размер области, в которой происходит развитие аномалии, намного превышает глубину океана, поэтому правомерно рассматривать одномерную задачу вдоль оси  $Oz$ , направленной вертикально вниз. Начало системы координат расположим на поверхности воды. Базовая система уравнений включает в себя уравнения баланса турбулентной энергии  $b$  [ $m^2 \cdot s^{-2}$ ] для стратифицированной жидкости и турбулентного переноса тепла [5]:

$$\frac{\partial b}{\partial t} = -\frac{g}{\rho_0} K_\rho \frac{\partial \rho}{\partial z} + \frac{\partial}{\partial z} K_b \frac{\partial b}{\partial z} - \frac{b^{3/2}}{L} + \beta(z, t), \quad (1)$$

$$\frac{\partial T}{\partial t} = \frac{\partial}{\partial z} K_T \frac{\partial T}{\partial z}, \quad (2)$$

где  $g$  — ускорение силы тяжести,  $\rho_0$  и  $\rho$  — средняя и текущая плотность жидкости,  $L$  — масштаб турбулентного движения,  $K_\rho$ ,  $K_b$  и  $K_T$  — турбулентные коэффициенты обмена массой, турбулентной энергией и теплом. Первый член в правой части уравнения (1) описывает затраты энергии на работу против сил плавучести, второй — турбулентный перенос турбулентной энергии, третий — диссиацию турбулентной энергии. Генерация турбулентной энергии описывается функцией  $\beta(z, t)$ , которую мы выбираем в следующем виде:

$$\beta(z, t) = \beta_0 [\theta(t) - \theta(t - \tau)],$$